



Московский физико-технический институт
(государственный университет)

ЭЛЕКТРОМАГНИТНЫЕ ВОЛНЫ В ВОЛНОВОДАХ

Лабораторная работа № 148

МОСКВА 2006

148. Электромагнитные волны в волноводах

Цель работы: ознакомление с методами получения и анализа электромагнитных волн СВЧ-диапазона.

В работе используются: генератор СВЧ типа Г4-83, измерительная линия Р1-28, усилитель 28 ИМ, заглушка, отрезок волновода с поглощающей нагрузкой, отрезки волноводов различных сечений, детекторная головка.

Передача энергии электромагнитных (э.м.) колебаний низкой частоты (скажем, 50 Гц) не представляет проблем и делается широко известным способом — по проводам. На более высоких частотах (до 300 МГц) эта задача решается с помощью двухпроводных линий и коаксиальных кабелей. На ещё более высоких частотах (до 300 ГГц), при колебаниях с длинами волн (в вакууме) от 1 метра до 1 миллиметра (этот диапазон называется *диапазоном сверхвысоких частот* или, сокращённо, СВЧ), передача энергии с помощью двухпроводной линии или коаксиальных кабелей становится малоэффективной из-за больших потерь: во-первых, резко возрастает сопротивление проводов из-за *скин-эффекта* — вытеснения тока на поверхность (skin-кожа), а в двухпроводной линии, кроме того, потери растут вследствие излучения энергии в окружающее пространство ($\sim \nu^4$).

В СВЧ-диапазоне энергия передаётся с помощью металлических труб, называемых волноводами (в миллиметровом диапазоне длин волн волноводы могут быть сделаны и из диэлектрика). Электромагнитные волны могут распространяться по металлическим трубам любого профиля, но из технологических соображений сечения волноводов делаются либо круглыми, либо прямоугольными.

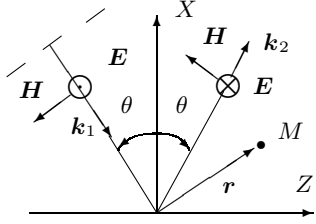
Чтобы найти структуру э.м. поля в волноводе, надо решить уравнения Максвелла с соответствующими граничными условиями. Решение этой задачи приведено во многих учебниках, например, в [2]. Мы построим э.м. поле в волноводе, складывая падающую и отражённые от стенок плоские волны. Такой метод называется *концепцией Бриллюэна*.

Рассмотрим отражение плоской э.м. волны от идеально проводящей, бесконечно протяжённой плоской поверхности $x = 0$ (рис. 1). Пусть вектор напряжённости электрического поля падающей волны \mathbf{E} параллелен этой плоскости. В наших обозначениях вектор $\mathbf{E}_{\text{пад}}$ направлен по оси Y (на нас). Фронт волны, падающей под углом θ к нормали, показан на рис. 1 пунктиром. Оба вектора напряжённости \mathbf{E} и \mathbf{H} лежат в плоскости фронта волны, им перпендикулярен волновой вектор \mathbf{k} , описывающий распространение волны.

Абсолютное значение волнового вектора \mathbf{k} — волновое число — равно

$$k = \frac{2\pi}{\lambda} = \frac{\omega}{v_\Phi}, \quad (1)$$

где λ — длина волны, ω — круговая частота, v_Φ — фазовая скорость волны, которая в пустом пространстве совпадает со скоростью света.



Рассмотрим некоторую произвольную точку M на рис. 1. В неё приходят две волны: падающая — $\mathbf{E}_{\text{пад}}$ и отражённая от плоскости — $\mathbf{E}_{\text{отр}}$. Будем отсчитывать расстояния от начала координат (от точки 0), а время t — от момента прихода фронта падающей волны в точку 0. Тогда

$$\mathbf{E}_{\text{пад}} = E_0 \cdot e^{i(\omega t - \mathbf{k}_1 \mathbf{r})}, \quad (2)$$

$$\mathbf{E}_{\text{отр}} = -E_0 \cdot e^{i(\omega t - \mathbf{k}_2 \mathbf{r})}, \quad (3)$$

где $k_1 = k_2 = \omega/c$. Проекции волновых векторов на оси координат:

$$\begin{aligned} k_{1x} &= -k \cos \theta, & k_{1z} &= k \sin \theta, \\ k_{2x} &= k \cos \theta, & k_{2z} &= k \sin \theta. \end{aligned} \quad (4)$$

Знак минус в отражённой волне связан со сдвигом фаз на 180° , возникающим при отражении волны от проводящей плоскости. Суммарное электрическое поле в точке M имеет вид

$$\mathbf{E} = E_0 [e^{i(\omega t - \mathbf{k}_1 \mathbf{r})} - e^{i(\omega t - \mathbf{k}_2 \mathbf{r})}]. \quad (5)$$

Подставляя в (5) координаты вектора $\mathbf{r}(x, 0, z)$ и значения соответствующих проекций векторов \mathbf{k}_1 и \mathbf{k}_2 из (4), найдём

$$\mathbf{E} = 2iE_0 \sin(kx \cos \theta) e^{i\omega(t - z \sin \theta/c)}. \quad (6)$$

Это выражение описывает волну с амплитудой

$$2iE_0 \sin(kx \cos \theta), \quad (7)$$

бегущую в направлении z с фазовой скоростью

$$v_\Phi = \frac{c}{\sin \theta}. \quad (8)$$

Отметим две важные особенности этой волны: 1) её фазовая скорость больше скорости света; 2) при фиксированном угле θ амплитуда поля гармонически зависит от x и не меняется со временем. Иначе говоря, в результате интерференции падающей и отражённой волн в пространстве над проводящей поверхностью в направлении оси X образуется система стоячих волн. Электрическое поле стоячей волны равно нулю в точках, где $kx \cos \theta = n\pi$, т.е. там, где

$$x = \frac{n\pi}{k \cos \theta}; \quad n = 0, 1, 2, \dots \quad (9)$$

Таким образом, поверхность нулевого электрического поля представляет собой плоскость, параллельную отражающей поверхности. Расположим в этой плоскости вторую проводящую поверхность. Эта поверхность не исказит полученного распределения поля, т.к. на ней автоматически удовлетворяются граничные условия $E(t) = 0$. Точно такие же плоскости можно поставить, например, при $y = 0$ и $y = b$. Эти плоскости нормальны электрическим силовым линиям, и на них выполняются граничные условия.

Итак, мы показали, что в волноводе прямоугольного сечения может распространяться э.м. волна, которую в пределах волновода можно рассматривать как результат суперпозиции двух плоских волн. Каждая плоская волна является чисто поперечной, так что электрическое и магнитное поля перпендикулярны к направлению их распространения. В суммарной волне электрическое поле имеет только составляющую E_y и, следовательно, перпендикулярно оси волновода, а магнитное поле имеет составляющие H_x и H_z .

Электромагнитное поле в волноводе не является чисто поперечным, а имеет продольные составляющие.

В рассмотренном случае отлична от нуля продольная составляющая магнитного поля, и поэтому такую волну называют *магнитной (H-волна)*. Мы могли бы взять другую поляризацию исходной падающей волны ($H = H_y$), и тогда возникла бы *электрическая волна* с $E_z \neq 0$ (E -волна).

Посмотрим на соотношение (9) с другой стороны. Если даны две параллельные проводящие плоскости, расположенные на расстоянии a друг от друга, то между ними могут распространяться волны, если

$$\cos \theta_n = \frac{n\pi}{ka} = \frac{n\lambda_0}{2a} = \frac{n\pi c}{a\omega}, \quad (10)$$

где λ_0 — длина волны в свободном пространстве.

Как ясно из (10), движение э.м. волны по волноводу возможно, если углы падения подчиняются условию

$$\cos \theta_n = \frac{n\lambda_0}{2a} \leq 1, \quad (11)$$

поэтому для каждого n существует наибольшая критическая длина волны и соответственно наименьшая критическая частота, при которых волна ещё может проходить через волновод. Нижняя критическая частота

$$\omega_{\text{кр}} = \frac{\pi c}{a} \quad (12)$$

и верхняя критическая длина волны

$$\lambda_{\text{кр}} = 2a \quad (13)$$

соответствуют $n = 1$.

С помощью (8), (10) и (12) нетрудно найти выражение для фазовой скорости э.м. волны, распространяющейся в волноводе:

$$v_{\text{ф}} = \frac{c}{\sin \theta} = \frac{c}{\sqrt{1 - \cos^2 \theta}} = \frac{c}{\sqrt{1 - (\omega_{\text{кр}}/\omega)^2}}. \quad (14)$$

Фазовая скорость (скорость перемещения поверхности постоянной фазы $v_{\text{ф}} = \omega/k$) в волноводе больше скорости света в пустоте, а групповая (скорость распространения возмущения $u = d\omega/dk$) всегда меньше. Интересно отметить, что фазовая скорость зависит от частоты. В таких случаях говорят, что среда (в данном случае — волновод) обладает дисперсией.

С помощью (1) и (14) можно найти волновое число k_z , описывающее распространение волны вдоль волновода:

$$k_z = \frac{\omega}{v_{\text{ф}}} = \frac{\omega}{c} \sqrt{1 - \left(\frac{\omega_{\text{кр}}}{\omega}\right)^2}. \quad (15)$$

Из этого выражения следует, что по мере убывания частоты волновое число k_z уменьшается и, наконец, при $\omega < \omega_{\text{кр}}$ (или, что то же, $\lambda_0 > 2a$) оно становится мнимым. Это означает, что при частотах $\omega < \omega_{\text{кр}} = \pi c/a$ волны вдоль трубы экспоненциально затухают. Поэтому критическую частоту называют граничной частотой волновода.

Преобразуя соотношение (15), можно связать длины волн в волноводе ($\lambda_{\text{в}}$), в открытом пространстве (λ_0) и критическую ($\lambda_{\text{кр}}$):

$$\frac{1}{\lambda_{\text{в}}^2} = \frac{1}{\lambda^2} - \frac{1}{\lambda_{\text{кр}}^2}. \quad (16)$$

Ясно, что никакой выделенности оси X нет, и поэтому точно так же может образоваться синусоидальное распределение поля и вдоль оси Y . Поэтому для каждого вида E - и H -волны получается бесчисленное множество решений, каждое из которых имеет свою критическую частоту и длину волны. В случае прямоугольного волновода с поперечными размерами a и b все возможные критические длины волн определяются общей формулой

$$\lambda_{\text{кр}} = \frac{1}{\sqrt{\left(\frac{m}{2a}\right)^2 + \left(\frac{n}{2b}\right)^2}},$$

где m и n — целые числа. Величина m представляет собой полное число полупериодов изменения той или иной составляющей поля вдоль пути, идущего параллельно широкой стенке волновода (a), а n — то же для узкой стенки (b). Эти же символы употребляются и в обозначениях волн — соответственно E_{mn} или H_{mn} . Обычно для передачи СВЧ-энергии по прямоугольным волноводам используется волна H_{10} . Её критическая длина волны — максимальная среди всех типов волн в прямоугольном волноводе, и поэтому её называют *основной*. Тем самым, для волновода заданного сечения существует диапазон частот, ограниченный снизу критической частотой волны H_{10} ($\lambda_{\text{кр}} = 2a$), а сверху — критической частотой следующей распространяющейся волны (например, H_{10} с $\lambda_{\text{кр}} = 2b$ или H_{20} с $\lambda_{\text{кр}} = a$). В этом частотном диапазоне СВЧ-энергия переносится только одним типом волн, что существенно облегчает её дальнейшее использование.

Если в волноводе имеется какое-либо препятствие, нерегулярность (в предельном случае он просто закрыт металлической пластиной), то в нём появляется отражённая волна. Падающая и отражённая волны интерферируют и создают в волноводе стоячую волну, похожую на стоячие волны в струне. Запишем прямую волну, движущуюся в положительном направлении оси Z , в виде

$$E_1 = E_0 e^{i(\omega t - k_z z)},$$

а отражённую — в виде

$$E_2 = \rho E_0 e^{i(\omega t + k_z z + \varphi)}, \quad (17)$$

где ρ — коэффициент отражения по амплитуде, а φ — фаза отражённой волны. Суммарное поле в волноводе имеет вид

$$E(z) = E_1 + E_2 = E_0 e^{-ik_z z} (1 + \rho e^{i(2k_z z + \varphi)}) e^{i\omega t} = A_0 e^{i\omega t}.$$

Из этого выражения видно, что в каждом сечении волновода ($z = \text{const}$) поле зависит от времени по гармоническому закону, а квадрат амплитуды равен

$$A_0^2 = E_0^2 [1 + \rho^2 + 2\rho \cos(2k_z z + \varphi)]. \quad (18)$$

Максимальное (в пучности) и минимальное (в узле) значения поля равны соответственно:

$$E_{\max} = E_0(1 + \rho), \quad E_{\min} = E_0(1 - \rho). \quad (19)$$

Из формулы (18) следует, что расстояние l между соседними узлами (или пучностями) составляет

$$l = \frac{\pi}{k_z} = \frac{\lambda_B}{2}. \quad (20)$$

Это даёт удобный способ измерения длины волны λ_B в волноводе. Отношение

$$K = \frac{E_{\max}}{E_{\min}} \quad (21)$$

называется *коэффициентом стоячей волны* (к.с.в.). Из (19) следует, что коэффициент отражения от препятствия по амплитуде

$$\rho = \frac{E_{\max} - E_{\min}}{E_{\max} + E_{\min}} = \frac{K - 1}{K + 1}. \quad (22)$$

В случае полного отражения (металлическая заглушка) $\rho = 1$, а если в волновод вставлено вещество, поглощающее СВЧ-излучение (согласованная нагрузка), то $\rho = 0$.

Для определения коэффициента стоячей волны обычно используют измерительную линию — отрезок волновода с продольной щелью длиной в несколько полуволн. В щели располагается зонд — небольшой металлический штырь (антенна), реагирующий на электрическое поле в волноводе. Напряжение высокой частоты, наводимое на зонд, детектируется, усиливается и подаётся на микровольтметр. Зонд может перемещаться вдоль линии — это позволяет исследовать распределение электрического поля в волноводе.

А. Волны в волноводе при частоте выше критической

Экспериментальная установка. Схема для исследования структуры волн в волноводе при частоте выше критической представлена на рис. 2. Модулированный сигнал от высокочастотного генератора (цуги с частотой повторения 1 кГц) поступает на вход А измерительной линии, вдоль

которой перемещается зонд S. Высокочастотный сигнал с зонда поступает на кристаллический детектор D¹.

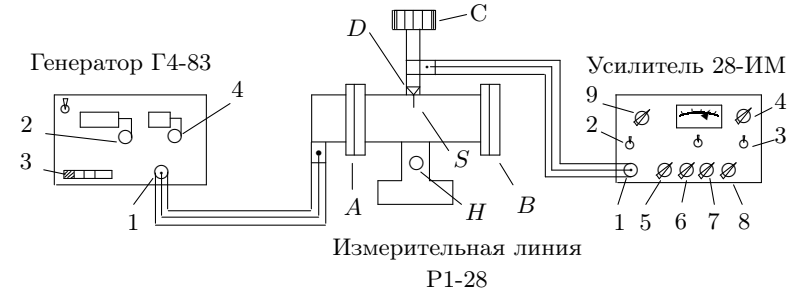


Рис. 2. Схема для исследования структуры волн СВЧ

С нагрузки детектора (с RC-цепочки) снимается огибающая высокочастотного сигнала и подаётся на усилитель низкой частоты. Величина сигнала регистрируется вольтметром, вмонтированным в усилитель. Ручка C — настройка измерительной линии — служит для согласования зонда (как антенны) со входом усилителя. Как правило, они согласованы, и в настройке нет необходимости. В волноводе с закрытым выходом образуется стоячая волна. Определив расстояние между узлами, можно рассчитать длину волны и фазовую скорость СВЧ-сигнала в волноводе. Устройство детекторной головки, установленной на измерительной линии, таково, что отклик вольтметра U на величину напряжённости электрического поля E в волноводе

$$U \sim E^n, \quad (23)$$

а показатель степени n сам зависит от величины сигнала: при малых сигналах детектирование квадратичное ($n = 2$), при больших — линейное ($n = 1$). Если известно распределение поля $E(z)$ вдоль измерительной линии, то, изучив распределение $U(z)$, можно по графику $\ln(U) = f[\ln(E)]$ определить характер детектирования: в двойном логарифмическом масштабе любая степенная функция — прямая линия, по наклону которой

¹ В нашей установке измерение сигналов СВЧ может производиться как с помощью кристаллического детектора, в цепи нагрузки которого под действием СВЧ колебаний появляется постоянный ток, так и с помощью болометра, в котором энергия электромагнитного излучения преобразуется в тепло и измеряется происходящим при этом изменением электрического сопротивления прибора (в качестве болометра может использоваться термистор, бареттер, плёночные сопротивления). В нашей работе кристаллический детектор установлен непосредственно в головке измерительной линии, и прибор 28ИМ фактически используется как усилитель переменного напряжения.

можно определить n . Распределение $E(z)$ нетрудно рассчитать для волновода с закороченным концом (металлической заглушкой), когда фаза отражённой волны $\varphi = \pi$, а $\rho = 1$. Как следует из (17), электрическое поле в этом случае имеет вид:

$$\begin{aligned} E(z) &= E_0 e^{-ik_z z} (1 - e^{2ik_z z}) e^{i\omega t} = E_0 e^{i\omega t} (e^{-ik_z z} - e^{ik_z z}) = \\ &= 2E_0 e^{i\omega t} \sin(k_z z) \sim \sin(k_z z). \end{aligned} \quad (24)$$

Здесь z — смещение от узла.

Меняя нагрузку на выходе измерительной линии (B на рис. 2) и сравнивая максимальное и минимальное показания вольтметра, можно рассчитать коэффициент стоячей волны (к.с.в.) и коэффициент отражения ρ .

Б. Волны в волноводе при частоте ниже критической

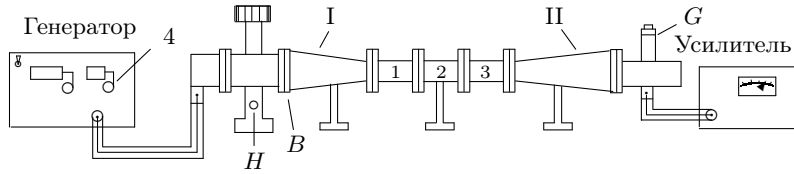


Рис. 3. Схема для исследования затухания

Для исследования затухания волн в волноводе при частоте ниже критической используются те же генератор, усилитель, измерительная линия и дополнительный набор волноводов с отдельной детекторной головкой G (рис. 3). Дополнительный набор начинается и заканчивается волноводами переменного сечения I и II. Между ними можно разместить 1, 2 или 3 одинаковых отрезка с постоянным сечением. В такой системе волны с частотами меньше критической экспоненциально затухают.

Мощность сигнала на выходе из волновода W можно связать с мощностью входного сигнала W_0 двумя способами:

$$W = W_0 e^{-\alpha z} \text{ или } W = W_0 10^{-\beta z} \quad (z \text{ — длина волновода}).$$

Коэффициент (αz) измеряется в *неперах* (Нп). 1 непер соответствует отношению интенсивностей, равному основанию натуральных логарифмов. Коэффициент (βz) принято измерять в *децибелах* [дБ]: один бел соответствует уменьшению мощности в 10 раз; децибел — одна десятая бела. Измеренное в децибелах затухание определяется формулой

$$(\beta z) \text{ [дБ]} = 10 \lg \frac{W_0}{W}.$$

Из этого определения вытекает, что

$$\alpha \left[\frac{\text{Нп}}{\text{см}} \right] = 2,3 \cdot \beta \left[\frac{\text{Б}}{\text{см}} \right]. \quad (25)$$

Если при уменьшении количества вставок волновода поддерживать интенсивность выходного сигнала постоянной, то входной сигнал следует ослабить. Степень ослабления γ зависит от длины волновода z ($\gamma = \beta z$) и измеряется по шкале генератора в децибелах. Именно таким образом в эксперименте определяется коэффициент затухания β . Его можно сравнить с коэффициентом α , рассчитанным теоретически. Как следует из (17), в закритическом волноводе при квадратичном детектировании интенсивность сигнала падает по закону $E^2 \sim e^{-\alpha z}$, где α — коэффициент затухания:

$$\alpha = 2ik_z.$$

Подставляя волновое число из (15) и заменяя частоты с помощью (10) и (12), найдём

$$\alpha = 2ik_z = \frac{2\omega}{c} \sqrt{\left(\frac{\omega_{\text{кр}}}{\omega}\right)^2 - 1} = \frac{2\pi}{a} \sqrt{1 - \left(\frac{2a}{\lambda_0}\right)^2}. \quad (26)$$

Здесь $\lambda_0 = c/\nu = 3,22$ см — длина волны в свободном пространстве, соответствующая рабочей частоте $\nu = 9320$ МГц, $a = 1,6$ см — размер широкой стенки волновода-вставки.

ЗАДАНИЕ

В работе предлагается при частоте выше критической исследовать стоячую волну в измерительной линии (рис. 2): измерив распределение сигнала вдоль волновода, рассчитать фазовую скорость и определить характер детектирования (линейный, квадратичный и т.д.); затем, меняя нагрузку на выходе волновода (заглушка, открытый конец или поглотитель), определить коэффициенты отражения электромагнитной волны. При частоте ниже критической предлагается определить коэффициент затухания волны в сборном волноводе (рис. 3) и сравнить с теоретическим.

А. Исследование структуры волн при частоте выше критической

Мощность сигнала, снимаемого с генератора Г4-83, невелика, поэтому излучение не представляет опасности для здоровья человека. Тем не менее заглядывать в открытый волновод при включённом генераторе не рекомендуется.

I. Подготовка приборов к работе

1. Соедините коаксиальными кабелями выход 1 генератора со входом A измерительной линии (рис. 2), а детекторную секцию D — со входом 1 усилителя. Закройте выходной фланец B измерительной линии металлической пластиной (заглушкой).

Включите в сеть генератор и усилитель. Настройку усилителя следует начинать после 15-минутного прогрева.

Ручкой 2 генератора установите рабочую частоту выходного сигнала $\nu = 9320$ МГц. Клавиша 3, обозначенная на приборе значком (цуги), должна быть утоплена. Ручкой 4 аттенуатора (ослабителя) установите минимальное ослабление выходной мощности $\gamma = 20$ дБ. Остальные ручки генератора не используются.

Пока прогревается усилитель, рассчитайте критическую частоту и убедитесь, что рабочая частота выше критической ($\nu_{кр} = c/2a$; $a = 23$ мм).

2. Проведите настройку усилителя в следующем порядке:

а) тумблер 2 — КРИСТАЛЛ-БОЛОМЕТР — поставьте в положение КРИСТАЛЛ; переключатели 5 и 9 — Множители напряжения — в положение 1;

б) тумблер 3 — Вольтметр — поставьте в положение ВЫКЛ; при этом вольтметр отключается от входа 1 усилителя; ручкой 4 — Установка нуля — приведите стрелку вольтметра к нулю;

в) поставьте переключатель 5 — Входное напряжение — в положение К (калибровка) и заметьте положение стрелки вольтметра, (постоянное калибровочное напряжение составляет 50-100 делений);

г) включите тумблер 3 — Вольтметр, при этом вольтметр подключается к выходу усилителя и измеряет калиброванное переменное напряжение частоты 1 кГц, которое вырабатывается собственным генератором усилителя;

д) с помощью ручек 6 — Диапазон частот — и 7 — Плавная регулировка частоты — добейтесь максимального отклонения стрелки вольтметра; если это максимальное значение отличается от ранее зафиксированного постоянного калибровочного напряжения, то ручкой 8 — УСИЛЕНИЕ приведите его к прежнему значению². На этом калибровка вольтметра закончена. При любом положении переключателя 5 (кроме «К» усилитель готов к измерениям.

3. При отражении сигнала от металлической пластины в волноводе образуется стоячая волна. Убедитесь, что усилитель реагирует на перемещение

² Можно установить половину калибровочного значения и при измерениях умножать результат на два.

зонда вдоль измерительной линии: стрелка вольтметра должна колебаться от нулевого отклонения в узле стоячей волны до максимального значения в пучности. Если вольтметр не откликается на перемещение зонда, возможно, нарушена настройка детекторного блока D . Этот блок требует очень тонкой регулировки, поэтому рекомендуем обратиться к лаборанту. Для полной проверки работоспособности схемы убедитесь, что показания вольтметра уменьшаются при изменении частоты генератора из-за перемещения пучности от положения, в которое установлен зонд.

II. Определение длины волны СВЧ-сигнала в волноводе

4. Восстановите рабочую частоту $\nu = 9320$ МГц; перемещая зонд, настройтесь на пучность стоячей волны. Если при этом показания вольтметра превышают 1 мВ, следует ослабить сигнал, идущий с генератора, с помощью аттенуатора 4 (при напряжениях ≥ 1 мВ меняется характер детектирования).
5. С помощью переключателей 5 и 9 подберите чувствительность вольтметра так, чтобы в максимуме стрелка отклонялась почти на всю шкалу. Используя весь возможный диапазон перемещения зонда вдоль измерительной линии, снимите зависимость показаний вольтметра U от положения зонда z (100 делений винта у выхода измерительной линии соответствуют 1 мм). Менять чувствительность вольтметра в течение этой серии нецелесообразно.
6. Постройте график $U = f(z)$ и определите по нему длину волны λ_v в волноводе. Сравните результат с теоретическим расчётом λ_v по формуле (16).

Сравните длину волны λ_0 в открытом пространстве с критической $\lambda_{кр}$ [см. (1) и (13)].

Рассчитайте фазовую скорость v_ϕ волн в волноводе по формуле (1). Рассчитайте групповую скорость u , используя соотношение $u \cdot v_\phi = c^2$.

III. Определение характера детектирования

7. Установите зонд в узел стоячей волны ($U = U_{\min}$); переключателями 5 и 9 подберите чувствительность вольтметра так, чтобы отклонение стрелки было заметным.

Перемещая зонд вблизи узла (смещение от узла $z < \pm 2$ мм), оцените диапазон изменения показаний вольтметра U . Характер детектирования остаётся неизменным, если напряжение U не превышает величины $U_0 \simeq 1$ мВ. Если $U \ll 1$ мВ, увеличьте сигнал с генератора, используя аттенуатор 4.

8. Снимите зависимость U от координаты зонда внутри выбранного диапазона. Разумно в каждой точке фиксировать отклонение стрелки и множители K_5 и K_9 , соответствующие переключателям 5 и 9.

9. Постройте график зависимости $\ln U$ от $\ln[\sin(k_z z)]$, где z — смещение от узла. При малых смещениях от узла ($z \lesssim 2$ мм) синус можно заменить его аргументом и построить график $\ln U = f(\ln z)$. По наклону прямой определите характер детектирования — линейный или квадратичный [см. (23) и (24)].

IV. Определение коэффициентов отражения

10. Снимите металлическую заглушку с фланца измерительной линии. Перемещая зонд, измерьте максимальное и минимальное напряжение в волне ($U_{\max} < 1$ мВ).
11. Наденьте на выходной фланец измерительной линии отрезок волновода с поглощающей нагрузкой и снова измерьте максимальное и минимальное напряжения.
12. Считая детектирование квадратичным, определите коэффициенты отражения r для открытого и закрытого волновода и для волновода с поглощающей нагрузкой [см. (21) и (22)]. Объясните полученные результаты.

Б. Исследование затухания волн при частоте ниже критической

V. Подготовка приборов к работе

13. Соберите схему согласно рис. 3: для этого установите на стойках детекторную головку G и волноводы переменного сечения I и II (фланцами меньшего размера друг к другу); закрепите между ними 3 отрезка волноводов постоянного сечения с размером длинной стороны $a = 16$ мм (следите, чтобы отрезки волноводов плотно соединялись между собой одинаковыми сторонами во фланцах); соедините сборный волновод с выходом B измерительной линии. Высоту измерительной линии можно изменять винтом H .

Отсоедините от входа усилителя кабель, идущий от измерительной линии, и подключите к усилителю детекторную головку G .

14. Измерьте длину каждой секции.
15. Рассчитайте критическую частоту для этого волновода ($\nu_{\text{кр}} = c/2a$) и убедитесь, что рабочая частота ($\nu = 9320$ МГц) меньше критической.

VI. Измерение коэффициента затухания

16. Настройте детекторную головку на максимальную чувствительность согласно ТО, расположенному на установке (в этом упражнении ограничение $U < 1$ мВ необязательно). Установите минимальное затухание ($\gamma = 20$ дБ) сигнала с генератора и подберите чувствительность вольтметра так, чтобы стрелка отклонялась почти на всю шкалу; заметьте величины U и γ .

17. Последовательно уменьшая число промежуточных секций от трёх до нуля, каждый раз подбирайте такое ослабление γ сигнала с генератора, при котором показания вольтметра усилителя остаются неизменными.
18. Постройте график в координатах $\gamma = f(z)$, где z — полная длина подключённых секций. По наклону прямой рассчитайте коэффициент затухания $\beta = \Delta\gamma/\Delta z$ (в белых на см) и сравните с рассчитанным теоретически [см. (25) и (26)].

Контрольные вопросы

- Используя выражения для фазовой и групповой скоростей ($v_{\text{ф}} = \omega/k$, $u = d\omega/dk$) и формулу (15), покажите, что в волноводе справедливо соотношение: $u \cdot v_{\text{ф}} = c^2$.
- Как направлен вектор Пойнтинга в волноводе?

СПИСОК ЛИТЕРАТУРЫ

- Сивухин Д.В.* Общий курс физики. — Т. III. Электричество. — М.: Наука, 1983. § 84.
- Фейнмановские лекции по физике.* Т. 6. Электродинамика. — М.: Наука, 1966. Гл. 24.
- Кингсеп А.С., Локшин Г.Р., Ольхов О.А.* Основы Физики. Т. I. Механика, электричество и магнетизм, колебания и волны, волновая оптика. — М.: ФИЗМАТЛИТ, 2001. Ч. II, Гл. 8, § 8.4; Ч. III, Гл. 6, § 6.7.

Дополнение

Рассмотрим волновод, представляющий собой металлическую трубу прямоугольного сечения, как показано на рис. Д.1.

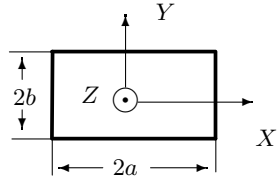


Рис. Д.1

Направим ось z вдоль трубы волновода, а оси x и y соответственно вдоль длинной и короткой сторон сечения волновода. Металлические стенки волновода имеют координаты

$$x_1 = a; x_2 = -a; y_1 = b; y_2 = -b.$$

Пусть далее волна, распространяющаяся по волноводу, будет поляризована вдоль оси y :

$$\mathbf{E} = (0, E_0, 0).$$

Распространение волны, поляризованной вдоль оси x , рассмотрим ниже. Вектор напряжённости электрического поля волны может быть разложен по осям x и y , поэтому указанные рассмотрения исчерпывают все возможные поляризации.

Волновое уравнение для волны заданной поляризации имеет вид

$$\frac{\partial^2 E}{\partial x^2} + \frac{\partial^2 E}{\partial y^2} + \frac{\partial^2 E}{\partial z^2} = \frac{n^2}{c^2} \cdot \frac{\partial^2 E}{\partial t^2}, \quad (\text{Д.1})$$

где n — показатель преломления среды внутри трубы волновода, c — скорость света в пустоте. Исходя из представления о распространении электромагнитных волн в однородной среде, мы можем быть уверены, что волна может распространяться вдоль оси z волновода, тогда как относительно направлений x и y такой уверенности нет из-за металлических стенок. Можно представить, что некоторое распределение поля $F(x, y)$ распространяется как волна в направлении z . В приближении плоской волны, поляризованной вдоль оси y , распределение $F(x, y)$ зависит только от координаты x , поэтому решение уравнения (Д.1) ищем в виде

$$E = E_0 F(x) e^{i(\omega t - k_z z)}, \quad (\text{Д.2})$$

где ω — частота электромагнитной волны, k_z — проекция волнового вектора плоской волны на направление z . После подстановки решения (Д.2) в волновое уравнение (Д.1) получаем уравнение для распределения $F(x)$ поля волны вдоль оси x :

$$\frac{d^2 F(x)}{dx^2} + \left(\frac{\omega^2 n^2}{c^2} - k_z^2 \right) F(x) = 0. \quad (\text{Д.3})$$

Заметим, что

$$k_0 = \frac{\omega}{c} = \frac{2\pi}{\lambda} \quad (\text{Д.4})$$

— это волновой вектор плоской волны в пустоте, а $k_0 n$ — волновой вектор в среде с показателем преломления n .

Уравнение (Д.3) является уравнением гармонических колебаний (правда, не во времени, а в пространстве) с пространственной частотой

$$\Omega = \sqrt{k_0^2 n^2 - k_z^2}. \quad (\text{Д.5})$$

Из структуры выражения (Д.5) легко понять, что пространственная частота Ω есть проекция волнового вектора $k_0 n$ на направление x , т.е. $k_x = \Omega$.

Рассмотрим рис. Д.2. Плоская волна с волновым вектором $k_0 n$ падает на стенку волновода под углом θ . Проекции волнового вектора $k_0 n$ на ось z

$$k_z = k_0 n \sin \theta,$$

а на ось x —

$$k_x = \Omega = k_0 n \cos \theta.$$

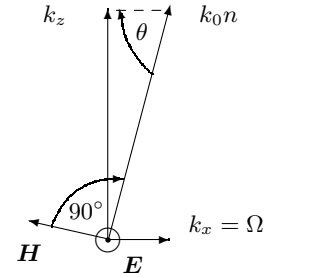


Рис. Д.2

Вектор напряжённости \mathbf{E} поля волны перпендикулярен плоскости рисунка, так как \mathbf{E} параллельно оси y . Вектор \mathbf{H} магнитного поля волны перпендикулярен как \mathbf{E} , так и волновому вектору $k_0 n$. Видно, что волна в волноводe не является чисто поперечной волной и имеет продольную составляющую поля H_z . Такая волна называется H -волной. Если бы вдоль оси y была ориентирована H -компонента электромагнитного поля волны, то напряжённость \mathbf{E} электрического поля имела бы продольную составляющую E_z и волна называлась бы E -волной.

Решением уравнения (Д.3) является:

$$F(x) = A \cos \Omega x + B \sin \Omega x. \quad (\text{Д.6})$$

Это решение представляет собой стоячую волну (нет зависимости от времени) в направлении x , ограниченном стенками волновода в координатах $x_1 = a; x_2 = -a$. Решение (Д.6) содержит две функции, отличающиеся симметрией: симметричную $F_s = A \cos \Omega x$, $F_s(-x) = F_s(x)$ и антисимметричную $F_u = B \sin \Omega x$, $F_u(-x) = -F_u(x)$. При возбуждении волновода

симметричным полем по волноводу будет распространяться волна с симметричным распределением $F_s(x)$, при возбуждении волновода антисимметричным полем реализуется антисимметричное распределение $F_u(x)$.

Учтём теперь граничные условия. Поскольку внутри металла электрическое поле отсутствует, то граничные условия будут:

$$\begin{aligned} F_s(x = a) = 0; \quad F_s(x = -a) = 0; \\ F_u(x = a) = 0; \quad F_u(x = -a) = 0. \end{aligned} \quad (\text{Д.7})$$

Для симметричных решений тем самым получаются условия:

$$\cos \Omega a = 0 \implies a\sqrt{k_0^2 n^2 - k_z^2} = (2m_s + 1)\frac{\pi}{2}; \quad m_s = 0, 1, 2, \dots \quad (\text{Д.8})$$

Из уравнения (Д.8) непосредственно следует, что проекция волнового вектора k_z не может принимать произвольные значения из диапазона $0 \leq k_z \leq k_0 n$, и что значения k_z квантуются по числу m_s :

$$k_z = \sqrt{k_0^2 n^2 - \left[\frac{(2m_s + 1)\pi}{2a} \right]^2}. \quad (\text{Д.9})$$

Квантование возникает всегда из-за необходимости выполнения граничных условий. Волна начинает квантоваться, когда её распространение ограничивают.

Поскольку проекция k_z волнового вектора $k_0 n$ на ось z есть действительная величина, то подкоренное выражение в равенстве (Д.9) должно быть величиной положительной, что с учётом (Д.4) приводит к условию:

$$0 \leq \frac{(2m_s + 1)\lambda}{4a n} \leq 1. \quad (\text{Д.10})$$

Таким образом, число возможных решений также ограничено:

$$m_s \max \leq \frac{2an}{\lambda} - \frac{1}{2}. \quad (\text{Д.11})$$

Каждое такое решение называется *модой волновода* (в частности, *симметричной модой*). Максимальное целое число $m_s \max$ определяет число симметричных мод, которые могут быть возбуждены в волноводе.

Вернёмся теперь к условиям (Д.7) и рассмотрим граничные условия для антисимметричных решений. Вместо (Д.8) получаем условие квантования:

$$\sin \Omega a = 0 \implies a\sqrt{k_0^2 n^2 - k_z^2} = \frac{2m_u \pi}{2}; \quad m_u = 0, 1, 2, \dots \quad (\text{Д.12})$$

Вместо (Д.10) получим условие

$$0 \leq \frac{m_u \lambda}{2a n} \leq 1 \quad (\text{Д.13})$$

и максимальное число антисимметричных мод

$$m_u \max \leq \frac{2an}{\lambda}. \quad (\text{Д.14})$$

Можно объединить условия (Д.8) и (Д.12), заметив, что условиям (Д.8) для симметричных функций соответствуют нечётные значения чисел $p = 2m + 1$ ($p = 1, 3, 5, \dots$), а условиям (Д.12) для антисимметричных решений соответствуют чётные значения чисел $p = 2m$ ($p = 2, 4, 6, \dots$). Поэтому оба условия (Д.10) и (Д.13) можно записать в виде

$$0 \leq \frac{p\lambda}{4an} \leq 1; \quad p = 1, 2, 3, \dots, \quad (\text{Д.15})$$

а условия (Д.8) и (Д.12) — в виде одного условия:

$$ak_0 n \sqrt{1 - \left(\frac{k_z}{k_0 n} \right)^2} = \frac{p\pi}{2}; \quad p = 1, 2, 3, \dots \quad (\text{Д.16})$$

Значения, которые может принимать в волноводе проекция волнового вектора k_z :

$$k_z = \sqrt{k_0^2 n^2 - \left(\frac{p\pi}{2a} \right)^2}; \quad p = 1, 2, 3, \dots \quad (\text{Д.17})$$

Из условия (Д.15) следует, что для каждой моды p волновода с характерным размером a и показателем преломления n имеется максимальная длина волны $\lambda_{p \max}$ и соответственно наименьшая частота $\nu_{p \min}$ ($\omega_{p \min} = 2\pi\nu_{p \min}$):

$$\lambda_{p \max} = \frac{4an}{p}; \quad \nu_{p \min} = \frac{cp}{4an}. \quad (\text{Д.18})$$

Если частота излучения в волноводе становится меньше $\nu_{p \min}$ и удовлетворяет соотношению $\nu_{(p-1) \min} < \nu < \nu_{p \min}$, то в волноводе не может быть возбуждена p -мода, и возбуждаются все моды от первой до $(p-1)$ -моды. При дальнейшем уменьшении частоты сокращается число мод, которые могут быть возбуждены в волноводе, и, в конце концов, остаётся единственная мода, удовлетворяющая условию

$$\frac{c}{4an} < \nu < \frac{2c}{4an}$$

с критической частотой $\nu_{\text{кр}}$ и длиной волны $\lambda_{\text{кр}}$:

$$\nu_{\text{кр}} = \frac{c}{4an}, \quad \lambda_{\text{кр}} = 4an. \quad (\text{Д.19})$$

На частоте $\nu < \nu_{\text{кр}}$ невозможно распространение волны по волноводу. Попробуем понять физическую причину этого ограничения. Из условия (Д.17) при $p = 1$ следует:

$$k_{1z} = k_0 n \sqrt{1 - \left(\frac{\lambda}{\lambda_{\text{кр}}}\right)^2} = k_0 n \sqrt{1 - \left(\frac{\omega_{\text{кр}}}{\omega}\right)^2}, \quad (\text{Д.20})$$

т.е. при уменьшении рабочей частоты ω до $\omega < \omega_{\text{кр}}$ проекция волнового вектора k_z уменьшается и становится мнимой:

$$k_{1z} = i k_0 n \sqrt{\left(\frac{\omega_{\text{кр}}}{\omega}\right)^2 - 1} \quad \text{при } \omega < \omega_{\text{кр}}. \quad (\text{Д.21})$$

Подставив выражение (Д.22) в решение (Д.2), мы получаем экспоненциальное затухание волны в направлении распространения z :

$$E = E_0 F(x) e^{-k_0 n \sqrt{(\omega_{\text{кр}}/\omega)^2 - 1} z} \cdot e^{i\omega t}. \quad (\text{Д.22})$$

Таким образом, невозможность распространения волны следует понимать как её экспоненциальное затухание в направлении распространения, то есть волна не перестаёт распространяться по волноводу в случае $\omega < \omega_{\text{кр}}$, а распространяется с затуханием, причём тем меньшим, чем ближе рабочая частота к критической. Если волновод короткий, то распространение «закритической» волны будет мало отличаться от «докритической».

Распространение волны, поляризованной вдоль оси x : $\mathbf{E} = (E_0, 0, 0)$ в том же самом волноводу (рис. Д.1) исследуем тем же способом. Решение уравнения (Д.1) ищем в виде

$$E = E_0 F(y) e^{i(\omega t - k_z z)}. \quad (\text{Д.23})$$

Распределение $F(y)$ получим аналогично распределению (Д.6) (с тем же самым выражением (Д.5) для пространственной частоты Ω):

$$F(y) = C \cos \Omega y + D \sin \Omega y. \quad (\text{Д.24})$$

Решения таким же образом разбиваются на симметричные и антисимметричные функции, но граничные условия будут иметь другой вид (a заменяется на b , x — на y):

$$\begin{aligned} F_s(y = b) = 0; \quad F_s(y = -b) = 0; \\ F_u(x = b) = 0; \quad F_u(x = -b) = 0. \end{aligned} \quad (\text{Д.25})$$

Все преобразования с симметричными и антисимметричными модами проводятся аналогично волне с поляризацией $\mathbf{E} \parallel y$ и окончательно для волны с $\mathbf{E} \parallel x$ получим разрешённые значения проекции k_z волнового вектора $k_0 n$:

$$k_z = \sqrt{k_0^2 n^2 - \left(\frac{q\pi}{2b}\right)^2}, \quad q = 1, 2, 3, \dots \quad (\text{Д.26})$$

Как и ранее, нечётные значения q относятся к симметричным функциям, а чётные — к антисимметричным. Аналогично условию (Д.15) получим условие для мод ортогональной поляризации ($\mathbf{E} \parallel x$):

$$0 \leq \frac{q\lambda}{4bn} \leq 1; \quad q = 1, 2, 3, \dots \quad (\text{Д.27})$$

Из условия (Д.27) следует, что для каждой моды q волновода с характерным размером b и показателем преломления n имеется максимальная длина волны $\lambda_{q \text{ max}}$ и соответственно наименьшая частота $\nu_{q \text{ min}}$ ($\omega_{q \text{ min}} = 2\pi\nu_{q \text{ min}}$):

$$\lambda_{q \text{ max}} = \frac{4bn}{q}, \quad \nu_{q \text{ min}} = \frac{cq}{4bn}. \quad (\text{Д.28})$$

Если частота излучения в волноводу становится меньше $\nu_{q \text{ min}}$ и удовлетворяет соотношению $\nu_{(q-1) \text{ min}} < \nu < \nu_{q \text{ min}}$, то в волноводу не может быть возбуждена q -мода, и возбуждаются все моды от первой до $(q-1)$ -моды. При дальнейшем уменьшении частоты сокращается число мод, которые могут быть возбуждены в волноводу, и, в конце концов, остаётся единственная мода, удовлетворяющая условию

$$\frac{c}{4bn} < \nu < \frac{2c}{4bn}$$

с критической частотой $\nu_{\text{кр}}$ и длиной волны $\lambda_{\text{кр}}$:

$$\nu_{\text{кр}} = \frac{c}{4bn}, \quad \lambda_{\text{кр}} = 4bn. \quad (\text{Д.29})$$

На частоте $\nu < \nu_{\text{кр}}$ невозможно распространение волны по волноводу в смысле, изложенном выше [см. (Д.20 — Д.22)]. Отметим, что критическая частота для волн x -поляризации (Д.29) больше, чем для волн y -поляризации (Д.19), т.к. $a > b$. Поэтому на достаточно низкой частоте возможно распространение по волноводу единственной моды с частотой ν , удовлетворяющей соотношению:

$$\frac{c}{4an} < \nu < \frac{c}{4bn}. \quad (\text{Д.30})$$

Естественно, что такая мода будет иметь y -поляризацию ($\mathbf{E} \parallel y$).

Рассматривая многомодовый режим волновода, следует иметь в виду, что волновой вектор $k_0 n$ при произвольной поляризации $\mathbf{E} = (E_x, E_y, 0)$ (H -волна) также должен быть разложен по осям x и y . При этом корень, входящий в выражение (Д.5), представляют в виде:

$$\sqrt{k_0^2 n^2 - k_z^2} = \sqrt{k_x^2 + k_y^2}. \quad (\text{Д.31})$$

Из этого выражения следует, что максимальную длину волны $\lambda_{pq \max}$, определяющую распространение излучения в режиме p -мод y -поляризации и q -мод y -поляризации, можно получить из выражения

$$\frac{1}{\lambda_{pq \max}^2} = \frac{1}{\lambda_{x \max}^2} + \frac{1}{\lambda_{y \max}^2} = \left(\frac{p}{4an}\right)^2 + \left(\frac{q}{4bn}\right)^2, \quad (\text{Д.32})$$

а минимальную частоту — из выражения

$$v_{pq \min}^2 = \left(\frac{pc}{4an}\right)^2 + \left(\frac{qc}{4bn}\right)^2. \quad (\text{Д.33})$$

Рассмотрим ещё одно важное понятие в теории волноводов — скорость распространения излучения. В волноводах фазовая скорость v_ϕ волны отличается от групповой скорости $v_{\text{гр}}$ (в отличие от распространения плоской волны в свободном однородном пространстве). Фазовая скорость — это скорость перемещения фазовой поверхности. В волноводе она определяется проекцией волнового вектора k_z :

$$v_\phi = \frac{\omega}{k_z} = \frac{k_0 c}{k_0 n \sin \theta} = \frac{c}{n \sin \theta}. \quad (\text{Д.34})$$

Фазовая скорость в волноводе больше скорости света в среде с показателем преломления n . Хотя звучит это парадоксально, но понять можно: в волноводе волна испытывает отражение, т.е. поворот фронта волны. Превышение скорости света связано именно с этим поворотом.

Гораздо более важной с практической точки зрения является групповая скорость $v_{\text{гр}}$ — это скорость, с которой данным излучением может быть передана информация. Как известно, излучением на фиксированной частоте передать сигнал невозможно. Нужно модулировать излучение, что с неизбежностью приводит к необходимости передавать излучение в некотором диапазоне частот $\Delta\omega$, то есть передавать *спектр* сигнала. Групповая скорость $v_{\text{гр}}$ зависит от этого набора частот:

$$v_{\text{гр}} = \frac{d\omega}{dk_z}, \quad (\text{Д.35})$$

для её вычисления нужно из выражения (Д.17) с учётом (Д.4) получить функцию $\omega(k_z)$:

$$\omega = \frac{c}{n} \sqrt{k_z^2 + \left(\frac{p\pi}{2a}\right)^2}; \quad p = 1, 2, 3, \dots \quad (\text{Д.36})$$

Дифференцируя последнее выражение, получим

$$v_{p \text{ гр}} = \frac{c}{n} k_z \sqrt{k_z^2 + \left(\frac{p\pi}{2a}\right)^2} = \frac{c}{n} \sqrt{1 - \left(\frac{p\pi}{2ak_0 n}\right)^2}. \quad (\text{Д.37})$$

Из выражения (Д.37) видно, что чем выше порядок моды (чем больше величина p), тем медленнее эта мода передаёт информацию. Каждая мода распространяется со своей групповой скоростью $v_{p \text{ гр}}$. Явление распространения мод с разными групповыми скоростями называется *межмодовой дисперсией*. Это явление вредное, так как ограничивает максимальную скорость передачи информации. Предположим, что передача ведётся короткими импульсами, следующими друг за другом с частотой f . Каждый такой импульс излучения распространяется по волноводу в виде p штук мод. Пусть длина волновода L . Тогда различные моды задержат выход импульса на различные времена:

$$\Delta t_p = \frac{L}{v_{p \text{ гр}}}.$$

В результате на выходе волновода получим набор из p импульсов, задержанных на времена от

$$\Delta t_1 = \frac{L}{v_{1 \text{ гр}}} \quad \text{до} \quad \Delta t_{p \max} = \frac{L}{v_{p \max \text{ гр}}}.$$

Все эти импульсы должны восприниматься приёмником как один импульс, то есть длительность выходящего сигнала станет равной

$$(\Delta t_{p \max} - \Delta t_1).$$

В этом случае говорят, что произошло *уширение импульса*. Если следующий сигнальный импульс будет передан через время

$$\tau = \frac{1}{f} < (\Delta t_{p \max} - \Delta t_1),$$

то расширенный импульс наложится на передаваемый, и второй импульс не будет принят приёмником. Передача по многомодовому волноводу ограничивается межмодовой дисперсией.